

Уравнения АГС и их применение

Н.В. Шевченко
(ИЯФ Ржеж, Чехия)

Уравнения Альта-Грассбергера-Сандхаса (АГС):

нерелятивистское описание динамики нескольких частиц

Оригинальные работы:

- Фаддеев Л. Д., *ЖЭТФ* **39** (1960) 1459,
- Фаддеев Л. Д., Тр. Матем. ин-та АН СССР, т.1 (1963) 69,
- E.O. Alt, P. Grassberger, and W. Sandhas, *Nucl. Phys. B*2 (1967) 167.

Лекции и книги:

- W. Sandhas, The three-body problem,
Acta Physica Austriaca, Suppl. IX (1972) 57.
- Шмидт Э., Цигельман Х., Проблема трех тел в квантовой механике,
М., Наука, 1979
- Беляев В.Б. Лекции по теории малочастичных систем,
М., Энергоатомиздат, 1986.

План:

1. Двухчастичное vs трехчастичное рассеяние
2. Уравнения АГС в операторной форме
3. Интегральные уравнения АГС и их особенности
4. Примеры физических задач

2-частичная задача

Гамильтониан:

$$H = \frac{p^2}{2\mu} + V$$

приведенная масса:

$$\mu = \frac{m_1 m_2}{m_1 + m_2}$$

3-частичная задача

3 возможных разбиения:

$$|\vec{p}_i, \vec{q}_i\rangle = |\vec{p}_i\rangle |\vec{q}_i\rangle$$

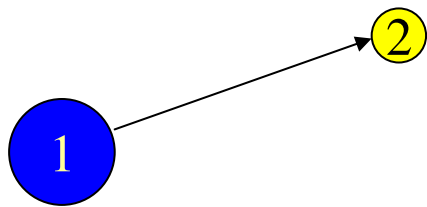
Гамильтониан:

$$H = \frac{p_i^2}{2\mu_i} + \frac{q_i^2}{2M_i} + V_1 + V_2 + V_3$$

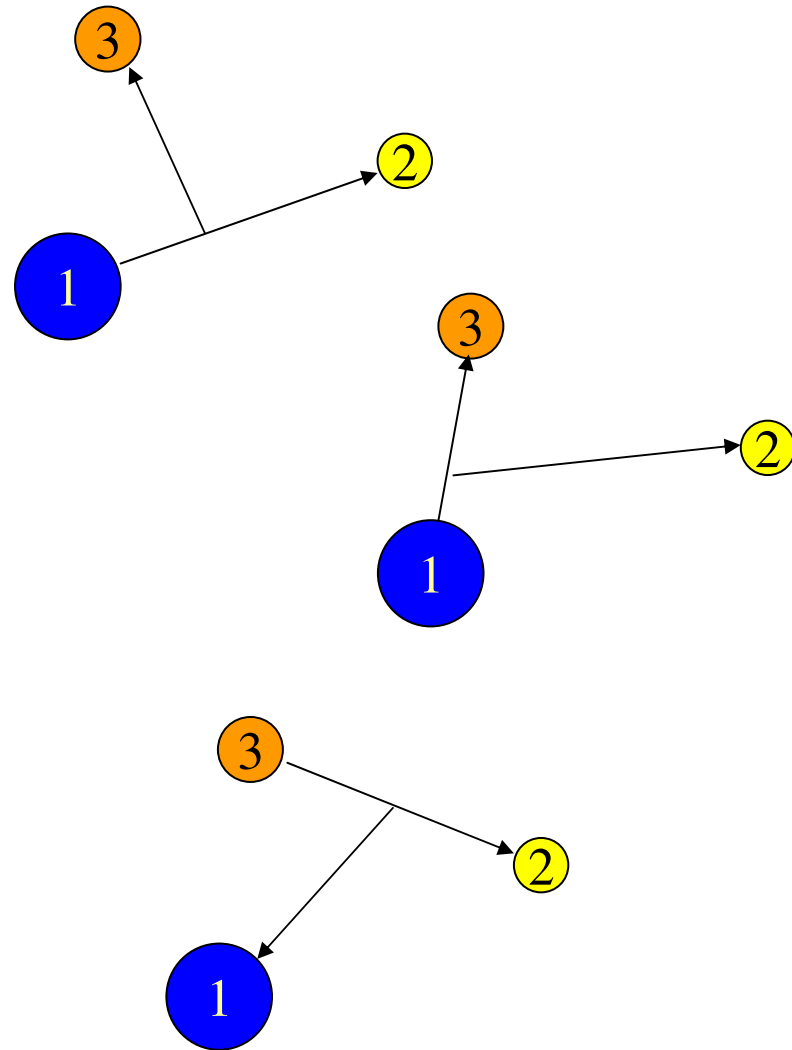
приведенные массы:

$$\mu_i = \frac{m_j m_k}{m_j + m_k}, \quad M_i = \frac{m_i (m_j + m_k)}{m_i + m_j + m_k}$$
$$i \neq j \neq k, \quad i, j = 1, 2, 3$$

2-частичная задача



3-частичная задача



2-частичная задача

Свободный гамильтониан:

$$H_0 = \frac{p^2}{2\mu}, \quad H = H_0 + V$$

$|\vec{p}\rangle$ -его собственное состояние

3-частичная задача

Канальные гамильтонианы:

$$H_i = \frac{p_i^2}{2\mu_i} + \frac{q_i^2}{2M_i} + V_i, \quad H = H + \bar{V}_i$$

Аналог плоских волн – канальные состояния:

$$H_i \phi_{in} = E_{in} \phi_{in}$$

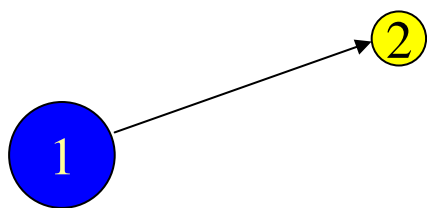
$$\phi_{in} = |\psi_{in}\rangle |\vec{q}_i\rangle$$

$|\phi_{in}\rangle$ - 3-частичное собственное состояние

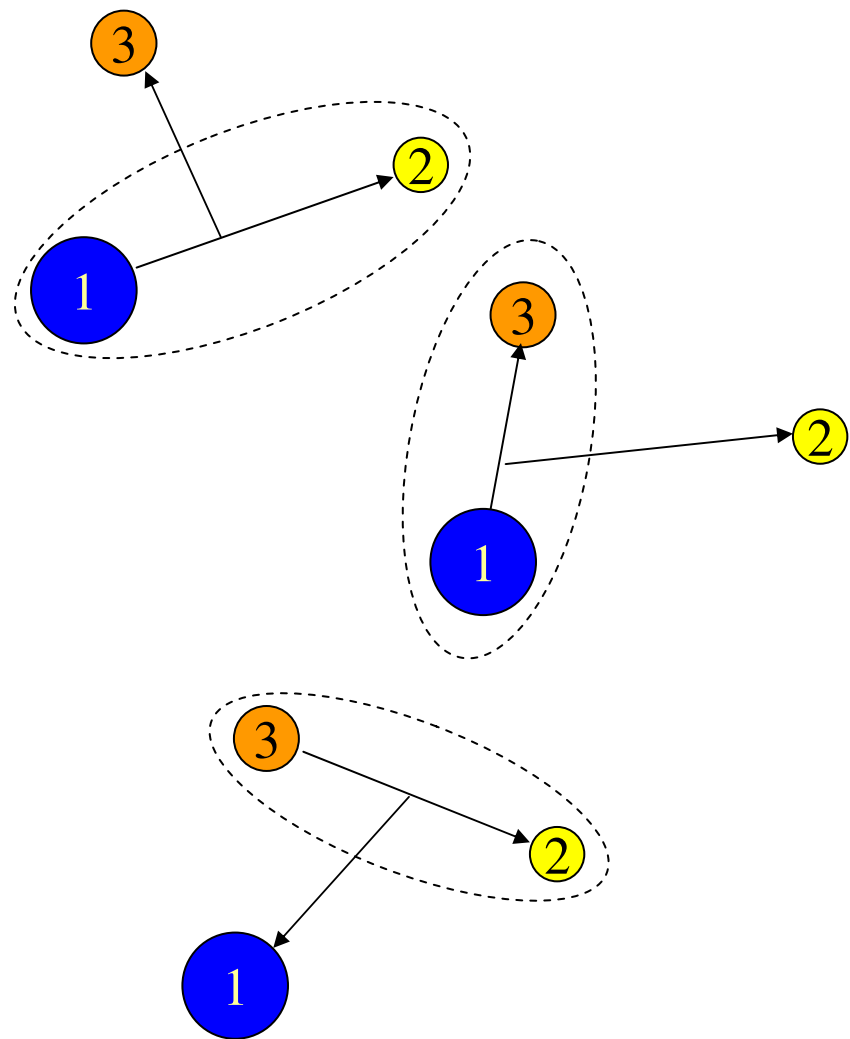
$|\psi_{in}\rangle$ - 2-частичное связанное состояние

$$\text{3-частичная энергия: } E_{in} = \frac{q_i^2}{2M_i} + E_{in}^{(2)}$$

2-частичная задача



3-частичная задача



2-частичная задача

Свободный гамильтониан:

$$H_0 = \frac{p^2}{2\mu}, \quad H = H_0 + V$$

$|\vec{p}\rangle$ -его собственное состояние

3-частичная задача

Развальный канал (канал $i = 0$):

$$H_0 = \frac{p_i^2}{2\mu_i} + \frac{q_i^2}{2M_i} \quad (V_0 = 0), \quad H = H_0 + V$$

$|\phi_0\rangle = |\vec{p}_i\rangle|\vec{q}_i\rangle$ -3-частичные
собственные функции

3-частичная энергия: $E_0 = \frac{q_i^2}{2M_i} + \frac{p_i^2}{2\mu_i}$

2-частичная задача

3-частичная задача

Собственные состояния полного гамильтониана

$$\begin{aligned} |\vec{p}^{(\pm)}\rangle &= \Omega^{(\pm)} |\vec{p}\rangle \\ S_{\vec{p}'\vec{p}} &= \langle \vec{p}'^{(-)} | \vec{p}^{(+)} \rangle \end{aligned}$$

$\Omega^{(\pm)}$ - операторы Меллера

$$\begin{aligned} \psi_{i n}^{(\pm)} &= \Omega_i^{(\pm)} \phi_{i n} \\ S_{j m, i n} &= \langle \psi_{j m}^{(-)} | \psi_{i n}^{(+)} \rangle \end{aligned}$$

$\Omega_i^{(\pm)}$ - каналные операторы Меллера

2-частичная задача

Состояния	
рассеяния	связанные
Спектры: разделены	
$E \geq 0$	$E_n < 0$
собственные векторы: ортогональны	
$ \vec{p}^{(\pm)}\rangle$	$ \psi_n\rangle$

3-частичная задача

$$H \psi_{in}^{(\pm)} = E_{in} \psi_{in}^{(\pm)}$$

Полный гамильтониан:
непрерывный спектр энергии
начинается с отрицательного значения

$$E_{in} = \frac{q_i^2}{2M_i} + E_{in}^{(2)} \geq E_{i1}^{(2)}$$

Спектры разных каналов перекрываются!

$$E_{in} = E_{jm}$$

Интегральные уравнения на состояния рассеяния:
(переход к стационарной постановке)

2-частичная задача

3-частичная задача

$$\psi_a^{(+)} = \Omega^{(+)} \phi_a = \lim_{\varepsilon \rightarrow 0} \varepsilon \int_{-\infty}^0 dt e^{\varepsilon t} e^{iH t} e^{-iH_0 t} \phi_a$$

$$|\vec{p}^{(+)}\rangle = \lim_{\varepsilon \rightarrow 0} i\varepsilon G(E + i\varepsilon) |\vec{p}\rangle$$

$$G(z) = (z - H)^{-1}$$

- функция Грина (резольвента) H

Если ввести свободную функцию Грина:

$$G_0(z) = (z - H_0)^{-1}$$

и учесть

$$G_0^{-1}(z) - G^{-1}(z) = H - H_0 = V \Rightarrow$$

2-частичная задача

$$G(z) = G_0(z) + G_0(z) V G(z)$$

$$G(z) = G_0(z) + G(z) V G_0(z)$$

-второе резольвентное уравнение.

С его помощью получается уравнение Липпманна- Швингера для состояний рассеяния:

$$|\vec{p}^{(+)}\rangle = |\vec{p}\rangle + G_0(E + i\varepsilon) V |\vec{p}^{(+)}\rangle$$

и для связанных состояний:

$$|\psi_n\rangle = G_0(E_n) V |\psi_n\rangle$$

Для обоих уравнений существуют единственные решения

3-частичная задача

Интегральные уравнения на состояния рассеяния:
(переход к стационарной постановке)

2-частичная задача

$$\psi_a^{(+)} = \Omega^{(+)} \phi_a = \lim_{\varepsilon \rightarrow 0} \varepsilon \int_{-\infty}^0 dt e^{\varepsilon t} e^{iH t} e^{-iH_0 t} \phi_a$$

$$|\vec{p}^{(+)}\rangle = \lim_{\varepsilon \rightarrow 0} i\varepsilon G(E + i\varepsilon) |\vec{p}\rangle$$

$$G(z) = (z - H)^{-1}$$

- функция Грина (резольвента) H

Если ввести свободную функцию Грина:

$$G_0(z) = (z - H_0)^{-1}$$

и учесть

$$G_0^{-1}(z) - G^{-1}(z) = H - H_0 = V \Rightarrow$$

3-частичная задача

$$\psi_{in}^{(+)} = i\varepsilon G(E_{in} + i\varepsilon) \phi_{in}$$

$$G(z) = (z - H)^{-1}$$

- функция Грина H

Если ввести канальную - “свободную” функцию Грина:

$$G_i(z) = (z - H_i)^{-1}$$

и учесть

$$G_i^{-1}(z) - G^{-1}(z) = \bar{V}_i \Rightarrow$$

2-частичная задача

$$G(z) = G_0(z) + G_0(z) V G(z)$$

$$G(z) = G_0(z) + G(z) V G_0(z)$$

-второе резольвентное уравнение.
С его помощью получается
уравнение Липпманна- Швингера
для состояний рассеяния:

$$|\vec{p}^{(+)}\rangle = |\vec{p}\rangle + G_0(E + i\varepsilon) V |\vec{p}^{(+)}\rangle$$

и для связанных состояний:

$$|\psi_n\rangle = G_0(E_n) V |\psi_n\rangle$$

Для обоих уравнений существуют
единственные решения

3-частичная задача

$$G(z) = G_i(z) + G_i(z) \bar{V}_i G(z)$$

$$G(z) = G_i(z) + G(z) \bar{V}_i G_i(z)$$

При действии им на ϕ_{in}

$$\psi_{in}^{(+)} = \frac{i\varepsilon}{E_{in} + i\varepsilon - H_i} \phi_{in} + G_i(E_{in} + i\varepsilon) \bar{V}_i \psi_{in}^{(+)}$$

$$\Rightarrow \psi_{in}^{(+)} = \phi_{in} + G_i(E_{in} + i\varepsilon) \bar{V}_i \psi_{in}^{(+)}$$

При действии на ϕ_{jm} , имеющее
ту же энергию $E_{jm} = E_{in}$

$$\psi_{jm}^{(+)} = \frac{i\varepsilon}{E_{jm} + i\varepsilon - H_i} \phi_{jm} + G_i(E_{in} + i\varepsilon) \bar{V}_i \psi_{jm}^{(+)}$$

$$\Rightarrow \psi_{jm}^{(+)} = G_i(E_{in} + i\varepsilon) \bar{V}_i \psi_{jm}^{(+)}$$

2-частичная задача

Уравнение Липпманна-Швингера для состояний рассеяния:

$$|\vec{p}^{(+)}\rangle = |\vec{p}\rangle + G_0(E + i\varepsilon) V |\vec{p}^{(+)}\rangle$$

для связанных состояний:

$$|\psi_n\rangle = G_0(E_n) V |\psi_n\rangle$$

Для обоих уравнений существуют единственные решения

(спектры разделены)

3-частичная задача

$$\Rightarrow \psi_{in}^{(+)} = \phi_{in} + G_i(E_{in} + i\varepsilon) \bar{V}_i \psi_{in}^{(+)}$$

$$\Rightarrow \psi_{jm}^{(+)} = G_i(E_{in} + i\varepsilon) \bar{V}_i \psi_{jm}^{(+)}$$

одновременно существуют решения неоднородного (рассеяние в канале i) и однородного (рассеяние в канале j) уравнений –

решение не единственно!

(спектры перекрываются)

3-частичная задача

- Спектры разных каналов перекрываются \Rightarrow
- Уравнения на состояния рассеяния, содержащие отдельные канальные состояния, не имеют единственное решение \Rightarrow
- Необходимо учитывать все каналы одновременно

Интегральные уравнения на операторы перехода:
(переход к стационарной постановке)

2-частичная задача

S -матрица имеет вид:

$$S_{\vec{p}'\vec{p}} = \delta(\vec{p}' - \vec{p}) - 2\pi i \delta\left(\frac{p'^2}{2\mu} - \frac{p^2}{2\mu}\right) \langle \vec{p}' | T\left(\frac{p^2}{2\mu} + i\varepsilon\right) | \vec{p} \rangle$$

где T определен через

$$G(z) = G_0(z) + G_0(z) T(z) G_0(z)$$

3-частичная задача

2-частичная задача

Подставляем

$$G(z) = G_0(z) + G_0(z) T(z) G_0(z)$$

во второе резольвентное уравнение

$$G(z) = G_0(z) + G_0(z) V G(z) \Rightarrow$$

$$\boxed{T(z) = V + V G_0(z) T(z)}$$

-уравнение Липпманна-Швингера

3-частичная задача

Интегральные уравнения на операторы перехода:
(переход к стационарной постановке)

2-частичная задача

S-матрица имеет вид:

$$S_{\vec{p}'\vec{p}} = \delta(\vec{p}' - \vec{p}) - 2\pi i \delta\left(\frac{p'^2}{2\mu} - \frac{p^2}{2\mu}\right) \langle \vec{p}' | T\left(\frac{p^2}{2\mu} + i\varepsilon\right) | \vec{p} \rangle$$

где T определен через

$$G(z) = G_0(z) + G_0(z) T(z) G_0(z)$$

3-частичная задача

$$S_{jm,in}(\vec{q}_j', \vec{q}_i) = \delta_{ij} \delta_{mn} \delta(\vec{q}_j' - \vec{q}_i) - 2\pi i \delta(E_{jm}' - E_{in}) \langle \vec{q}_j' | \langle \psi_{jm} | U_{ji}(E_{in} + i\varepsilon) | \psi_{in} \rangle | \vec{q}_i \rangle$$

$$G(z) = \delta_{ji} G_i(z) + G_j(z) U_{ji}(z) G_i(z)$$

$\Rightarrow U_{ji}(z)$ - оператор перехода,
аналог T -матрицы

2-частичная задача

Подставляем

$$G(z) = G_0(z) + G_0(z) T(z) G_0(z)$$

во второе резольвентное уравнение

$$G(z) = G_0(z) + G_0(z) V G(z) \Rightarrow$$

$$\boxed{T(z) = V + V G_0(z) T(z)}$$

-уравнение Липпманна-Швингера

3-частичная задача

Подставляем

$$G(z) = \delta_{ji} G_i(z) + G_j(z) U_{ji}(z) G_i(z)$$

в

$$G(z) = G_j(z) + G_j(z) \bar{V}_j G(z) \Rightarrow$$

$$\boxed{U_{ji} = (1 - \delta_{ji}) G_0^{-1} + \sum_{k \neq j} T_k G_0 U_{ki}}$$

-уравнение Альта-Грассбергера-Сандхаса
(связывает все каналы рассеяния)

Для процесса развала ($i \neq 0, j = 0$)

$$U_{0i} = G_0^{-1} + \sum_k T_k G_0 U_{ki}$$

2-частичная задача

Уравнение Липпманна-Швингера

$$T(z) = V + V G_0(z) T(z)$$

$$T(\vec{p}', \vec{p}; z) = \langle \vec{p}' | T(z) | \vec{p} \rangle$$

определен без ограничений на значения импульсов и энергии, тогда как

$$\frac{d\sigma}{d\Omega} = (2\pi)^4 \mu^2 |T(\vec{p}', \vec{p}; E + i\varepsilon)|^2,$$

$$p'^2 = p^2 = 2\mu E$$

3-частичная задача

Уравнение Альта-Грассбергера-Сандхаса

$$U_{ji} = (1 - \delta_{ji}) G_0^{-1} + \sum_{k \neq j} T_k G_0 U_{ki}$$

Двухчастичные операторы T_k

$$T_k(z) = V_k + V_k G_0(z) T_k(z),$$

T_k -оператор, действующий в 3-частичном пространстве:

$$\langle \vec{q}'_k, \vec{p}'_k | T_k(z) | \vec{q}_k, \vec{p}_k \rangle =$$

$$\delta(\vec{q}'_k - \vec{q}_k) \langle \vec{p}'_k | T_k^{(2)} \left(z - \frac{q_k^2}{2M_k} \right) | \vec{p}_k \rangle$$

$T_k^{(2)}$ -настоящий 2-частичный оператор

2-частичная задача

Уравнение Липпманна-Швингера

$$T(z) = V + V G_0(z) T(z)$$

3-частичная задача

Уравнение Альта-Грассбергера-Сандхаса

$$U_{ji} = (1 - \delta_{ji}) G_0^{-1} + \sum_{k \neq j} T_k G_0 U_{ki}$$

Если переписать его в виде

$$U_{ji} = (1 - \delta_{ji}) G_0^{-1} + \sum_k (1 - \delta_{jk}) G_0^{-1} G_0 T_k G_0 U_{ki}$$

видно, что АГС имеют структуру, аналогичную уравнению Липпманна-Швингера:

$$\mathbf{T} = \mathbf{V} + \mathbf{V} \mathbf{G}_0 \mathbf{T},$$

где

$$\mathbf{T}_{ji} = U_{ji}$$

$$\mathbf{V}_{ji} = (1 - \delta_{ji}) G_0^{-1}$$

$$\mathbf{G}_{0,ji} = \delta_{ji} G_0 T_i G_0$$

2-частичная задача

3-частичная задача

Вводим резольвенту:

$$\mathbf{G} = \mathbf{G}_0 + \mathbf{G}_0 \mathbf{T} \mathbf{G}_0,$$

$$\mathbf{G}_{ji} = G_0 \left\{ \delta_{ji} V_i + V_j G V_i \right\} G_0 = G_0 M_{ji} G_0$$

Если, как в 2-частичном случае написать

$$\mathbf{G} = \mathbf{G}_0 + \mathbf{G}_0 \mathbf{V} \mathbf{G}$$

и подставить значения операторов, то

$$M_{ji} = \delta_{ji} T_i + T_j G_0 \sum_k (1 - \delta_{jk}) M_{ki}$$

-уравнения, полученные Фаддеевым.

Сепарабельные потенциалы

Потенциал вида (одночленный сепарабельный): $V = \lambda |\chi\rangle\langle\chi|$
соответствует T -матрице

$$T = |\chi\rangle\tau(z)\langle\chi|,$$
$$\tau(z) = \left(\lambda^{-1} - \langle\chi|G_0(z)|\chi\rangle\right)^{-1}$$

В импульсном представлении

$$\langle\vec{p}'|V|\vec{p}\rangle = \lambda \chi(\vec{p}') \chi^*(\vec{p}) \Rightarrow$$

$$\langle\vec{p}'|T(z)|\vec{p}\rangle = \frac{\chi(\vec{p}') \chi^*(\vec{p})}{\lambda^{-1} - \int d\vec{p}'' \frac{|\chi(\vec{p}'')|^2}{z - p''^2 / 2\mu}}$$

Волновая функция связанного состояния: $|\psi\rangle = N G_0(E_B)|\chi\rangle$

Уравнения АГС для сепарабельных потенциалов

Для описания рассеяния $i + (jk) \rightarrow j + (ki)$ необходимо найти

$$\langle \phi_j | U_{ji}(E + i\varepsilon) | \phi_i \rangle = \langle \vec{q}_j' | \langle \psi_j | U_{ji}(E + i\varepsilon) | \psi_i \rangle | \vec{q}_i \rangle =$$

для сепарабельного потенциала:

$$= \langle \vec{q}_j' | \langle \chi_j | G_0(z) U_{ji}(E + i\varepsilon) G_0(z) | \chi_i \rangle | \vec{q}_i \rangle$$

Нужно найти оператор

$$X_{ji}(z) = \langle \chi_j | G_0(z) U_{ji}(E + i\varepsilon) G_0(z) | \chi_i \rangle$$

в импульсном пространстве. Если ввести

$$Z_{ji}(z) = (1 - \delta_{ji}) \langle \chi_j | G_0(z) | \chi_i \rangle,$$

уравнение АГС превращается в

$$X_{ji}(z) = Z_{ji}(z) + \sum_{k=1}^3 Z_{jk}(z) \tau_k \left(z - \frac{q_k^2}{2M_k} \right) X_{ki}(z)$$

$$X_{ji}(z) = Z_{ji}(z) + \sum_{k=1}^3 Z_{jk}(z) \tau_k \left(z - \frac{q_k^2}{2M_k} \right) X_{ki}(z)$$

Двухчастичный T -оператор в трехчастичном пространстве:

$$\langle \vec{q}'_k, \vec{p}'_k | T_k(z) | \vec{q}_k, \vec{p}_k \rangle = \delta(\vec{q}'_k - \vec{q}_k) \chi(\vec{p}'_k) \langle \vec{p}'_k | \tau_k \left(z - \frac{q_k^2}{2M_k} \right) | \vec{p}_k \rangle \chi^*(\vec{p}_k)$$

Амплитуда рассеяния и дифф. сечение процесса $i + (jk) \rightarrow j + (ki)$:

$$f(\vec{q}'_j, \vec{q}_i; z) = -(2\pi)^2 \sqrt{M_i M_j} \langle \vec{q}'_j | X_{ji}(z) | \vec{q}_i \rangle,$$

$$\frac{d\sigma(\vec{q}'_j, \vec{q}_i; z)}{d\Omega} = \frac{\vec{q}'_j}{\vec{q}_j} |f(\vec{q}'_j, \vec{q}_i; z)|^2$$

Для описания рассеяния из состояния $1+(23)$ нужно решить систему:

$$\begin{aligned}
 X_{11}(z) &= Z_{12}(z) \tau_2 \left(z - \frac{q_2^2}{2M_2} \right) X_{21}(z) + Z_{13}(z) \tau_3 \left(z - \frac{q_3^2}{2M_3} \right) X_{31}(z) \\
 X_{21}(z) &= Z_{21}(z) + Z_{21}(z) \tau_1 \left(z - \frac{q_1^2}{2M_1} \right) X_{11}(z) + Z_{23}(z) \tau_3 \left(z - \frac{q_3^2}{2M_3} \right) X_{31}(z) \\
 X_{31}(z) &= Z_{31}(z) + Z_{31}(z) \tau_1 \left(z - \frac{q_1^2}{2M_1} \right) X_{11}(z) + Z_{32}(z) \tau_2 \left(z - \frac{q_2^2}{2M_2} \right) X_{21}(z)
 \end{aligned}$$

которая в импульсном представлении после введения промежуточных состояний превращается в систему интегральных уравнений \Rightarrow

$$\begin{aligned}
\langle \vec{q}'_1 | X_{11}(z) | \vec{q}_1 \rangle = & \int d\vec{q}''_2 \langle \vec{q}'_1 | Z_{12}(z) | \vec{q}''_2 \rangle \tau_2 \left(z - \frac{q''_2{}^2}{2M_2} \right) \langle \vec{q}''_2 | X_{21}(z) | \vec{q}_1 \rangle + \\
& + \int d\vec{q}''_3 \langle \vec{q}'_1 | Z_{13}(z) | \vec{q}''_3 \rangle \tau_3 \left(z - \frac{q''_3{}^2}{2M_3} \right) \langle \vec{q}''_3 | X_{31}(z) | \vec{q}_1 \rangle
\end{aligned}$$

$$\begin{aligned}
\langle \vec{q}'_2 | X_{21}(z) | \vec{q}_1 \rangle = & \langle \vec{q}'_2 | Z_{21}(z) | \vec{q}_1 \rangle + \\
& + \int d\vec{q}''_1 \langle \vec{q}'_2 | Z_{21}(z) | \vec{q}''_1 \rangle \tau_1 \left(z - \frac{q''_1{}^2}{2M_1} \right) \langle \vec{q}''_1 | X_{11}(z) | \vec{q}_1 \rangle + \\
& + \int d\vec{q}''_3 \langle \vec{q}'_2 | Z_{23}(z) | \vec{q}''_3 \rangle \tau_3 \left(z - \frac{q''_3{}^2}{2M_3} \right) \langle \vec{q}''_3 | X_{31}(z) | \vec{q}_1 \rangle
\end{aligned}$$

$$\begin{aligned}
\langle \vec{q}'_3 | X_{31}(z) | \vec{q}_1 \rangle = & \langle \vec{q}'_3 | Z_{31}(z) | \vec{q}_1 \rangle + \\
& + \int d\vec{q}''_1 \langle \vec{q}'_3 | Z_{31}(z) | \vec{q}''_1 \rangle \tau_1 \left(z - \frac{q''_1{}^2}{2M_1} \right) \langle \vec{q}''_1 | X_{11}(z) | \vec{q}_1 \rangle + \\
& + \int d\vec{q}''_2 \langle \vec{q}'_3 | Z_{32}(z) | \vec{q}''_2 \rangle \tau_2 \left(z - \frac{q''_2{}^2}{2M_2} \right) \langle \vec{q}''_2 | X_{21}(z) | \vec{q}_1 \rangle
\end{aligned}$$

Для решения необходимо:

- знать все двухчастичные T -матрицы,

- определить матричные элементы операторов

$$\langle \vec{q}'_j | Z_{ji}(z) | \vec{q}''_i \rangle = \langle \vec{q}'_j | \langle \chi_j | G_0(z) | \chi_i \rangle | \vec{q}''_i \rangle$$

- провести разложение матричных операторов по парциальным волнам (3-частичный угловой момент складывается из момента пары и 3-ей частицы по отношению к паре; на практике - низшие значения орбитальных моментов)

- в случае наличия тождественных бозонов (нуклонов) провести антисимметризацию

- учесть спиновые и изоспиновые (если есть) степени свободы

При решении системы начальный импульс и трехчастичная энергия – параметры, решается система одномерных интегральных уравнений

Сингулярности ядер уравнений АГС

Сингулярности 2-частичной T -матрицы

Двухчастичный T -оператор в трехчастичном пространстве:

$$\langle \vec{q}'_k, \vec{p}'_k | T_k(z) | \vec{q}_k, \vec{p}_k \rangle = \delta(\vec{q}'_k - \vec{q}_k) \chi(\vec{p}'_k) \langle \vec{p}'_k | \tau_k \left(z - \frac{q_k^2}{2M_k} \right) | \vec{p}_k \rangle \chi^*(\vec{p}_k)$$

имеет полюс при энергии, равной двухчастичной энергии связи.

$$z - \frac{q_k^2}{2M_k} = E_B^{(2)}$$

Для любого процесса рассеяния $z = \frac{q_k^2}{2M_k} + E_{B,k}^{(2)} \geq E_B^{(2)} \Rightarrow$

полюс в ядре интегральных уравнений присутствует.

Исключение: поиск связанного состояния $z < E_B^{(2)} \Rightarrow$ полюса нет.

Сингулярности “потенциала” Z

При положительной 3-частичной энергии открыт порог 3-частичного развала-

появляются полюсы в $\langle \vec{q}'_j | Z_{ji}(z) | \vec{q}''_i \rangle = \langle \vec{q}'_j | \langle \chi_j | G_0(z) | \chi_i \rangle | \vec{q}''_i \rangle$

$$Z_{ji}(\vec{q}'_j, \vec{q}''_i; z) \sim \frac{m_k}{q'_j q''_i} \left(y_{ji}(q'_j, q''_i; z) + i\varepsilon - \cos \theta \right),$$

$$y_{ji}(q'_j, q''_i; z) = \frac{m_k}{q'_j q''_i} \left(z - \frac{q'^2_j}{2\mu_{jk}} - \frac{q''^2_i}{2\mu_{ik}} \right)$$

проекция на парциальные волны:

$$Z_{L,ji}(q'_j, q''_i; z) \sim \frac{1}{2} \int_{-1}^1 \frac{P_L(\cos \theta) d(\cos \theta)}{y_{ji}(q'_j, q''_i; z) + i\varepsilon - \cos \theta} =$$

$$= \frac{1}{2} \left[P \int_{-1}^1 \frac{P_L(\cos \theta) d(\cos \theta)}{y_{ji}(q'_j, q''_i; z) + i\varepsilon - \cos \theta} - i\pi \int_{-1}^1 \delta(y_{ji}(q'_j, q''_i; z) - \cos \theta) P_L(\cos \theta) d(\cos \theta) \right]$$

⇒ в функции $Z_{L,ji}(q'_j, q''_i; z)$

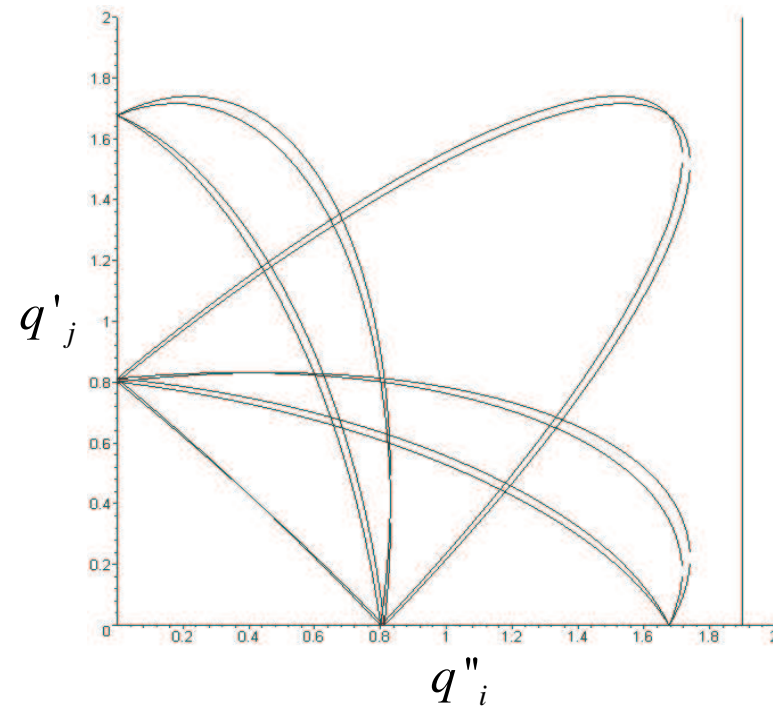
имеется разрез при

$$-1 < y_{ji}(q'_j, q''_i; z) < 1$$

и логарифмические сингулярности

в точках

$$y_{ji}(q'_j, q''_i; z) = \pm 1$$



Сингулярности ядер АГС:

связанные состояния

$$z < E_{B,k}^{(2)}$$

упругое рассеяние под
порогом 3-частичного развала

$$E_{B,k}^{(2)} < z < 0$$

рассеяние над
порогом 3-частичного развала

$$z > 0$$

сингулярностей нет

полюс двухчастичной T -матрицы

полюс двухчастичной T -матрицы +
логарифмические сингулярности

Возможные усложнения:

- неоднородные сепарабельные двухчастичные потенциалы и T -матрицы,
- несепарабельные двухчастичные потенциалы и T -матрицы,
- наличие спиновых, изоспиновых степеней свободы
- использование высших парциальных волн
- связанные каналы
- учет 3-частичных сил (?)

⇒ рост числа уравнений в системе

Уравнения АГС использовались:

- для вычисления параметров связанных состояний и рассеяния в 3- и 4-нуклонных системах (${}^3\text{H}$, ${}^3\text{He}$, ${}^4\text{He}$)
- описание ядер с использованием кластерных моделей
- описание молекулярных состояний (не атомных – проблема с кулоновским взаимодействием)
- описание рассеяния мезонов на легчайших ядрах (π , η на d , ${}^3\text{H}$, ${}^3\text{He}$)
- вычисление параметров квазисвязанного состояния - резонанса в системе $\bar{K}NN - \pi\Sigma N$

Антикаон-ядерные состояния – интересные
экзотические объекты

Связаны с вопросами:

- *Взаимодействие антикаонов с нуклонами
одновременное описание атомных данных и данных по рассеянию
 $\Lambda(1405)$ (связанное состояние для $\bar{K}N$ и резонанс для $\pi\Sigma$? Два
резонанса? Иное?)*
- *Глубина \bar{K} -ядерного оптического потенциала
анализ атомных данных (170-200 MeV)
киральные модели (60-100 MeV)*
- *Свойства антикаонов в среде, эффективная масса*
- *Каонный конденсат (нейтронные звезды)*

Существуют ли такие состояния?

Достаточно ли они узкие для экспериментального наблюдения?

К⁻pp связанное состояние

Глубокое и узкое связанное К⁻pp связанное состояние

(G-матричный расчет, оптический потенциал): $E_B = -48 \text{ MeV}$, $\Gamma = 61 \text{ MeV}$

T. Yamazaki and Y. Akaishi, Phys. Lett. B535 (2002) 70

Коллаборация FINUDA: указание на существование глубокого связанного состояния (коррелированный вылет Λ и p) с $E_B = -115 \text{ MeV}$, $\Gamma = 67 \text{ MeV}$:

M. Agnello et. al., Phys. Rev. Lett. 94 (2005) 212303

альтернативная интерпретация результатов эксперимента:

V.K. Magas, E. Oset, A. Ramos, H. Toki, Phys. Rev. C 74 (2006) 025206,

M. Agnello et. al., Nucl. Phys. A. 775 (2006) 35

⇒ 3-частичные фаддеевские уравнения в форме АГС для связанных $\bar{K}NN - \pi\Sigma N$ каналов

Каонные атомные и ядерные состояния

– необходимо знать **базовое антикаон-нуклонное** взаимодействие

Существующие $\bar{K}N$ потенциалы:

- Потенциалы, используемые в мало- или многочастичных расчетах (эффективные оптические потенциалы, одноканальная форма):

слишком просты, плохое воспроизведение экспериментальных данных

- Потенциалы “сами по себе” (наиболее популярны “киральные потенциалы”, многоканальные):

невозможно использовать в малочастичных расчетах

Был сконструирован потенциал:

1. воспроизводящий все экспериментальные данные и
2. пригодный для малочастичных расчетов

Существующая информация о $\bar{K}N$ взаимодействии

- Сильно связан с $\pi\Sigma$ каналом через $\Lambda(1405)$ резонанс

$$\text{PDG: } E_{\Lambda} = 1406.5 - i 25.0 \text{ MeV, } I = 0$$

Обычное предположение:

резонанс в $I = 0$ $\pi\Sigma$ и квазисвязанное состояние в $I = 0$ $\bar{K}N$ канале

Альтернативная версия:

$\Lambda(1405)$ - эффект двух близко расположенных полюсов

J. A. Oller, U. G. Meissner, Phys. Lett. B 500 (2001) 263,

D. Jido et. al, Nucl. Phys. A 725 (2003) 181

- Данные по рассеянию:

- Сечения $K^- p \rightarrow K^- p$ и $K^- p \rightarrow MB$ реакций,

- Пороговые отношения γ , R_c , и R_n

D.N. Tovee et al., Nucl. Phys. B33 (1971) 493,

R.J. Nowak et al., Nucl. Phys. B139 (1978) 61

- длина $K^- p$ рассеяния (КЕК):

$$a_{K^- p}^{KEK} = -(0.78 \pm 0.15 \pm 0.03) + i (0.49 \pm 0.25 \pm 0.12) \text{ fm}$$

M. Iwasaki et al., Phys. Rev. Lett. 78 (1997) 3067,

T.M. Ito et al., Phys. Rev. C 58 (1998) 2366

Получена с помощью формулы Десера-Трумена:

S. Deser et al., Phys. Rev. 96 (1954) 774, *T.L. Trueman*, Nucl. Phys. 26 (1961) 57

$$\Delta E_{1s} + i \frac{\Gamma_{1s}}{2} = 2 \alpha^3 \mu^2 a_{K^- p}, \quad \Delta E_{1s} = E_{2p \rightarrow 1s}^{\text{exp}} - E_{2p \rightarrow 1s}^{\text{Coulomb}}$$

МОДЕЛЬНО-НЕЗАВИСИМА, НО НЕТОЧНА.

Экспериментально измерены: сильный сдвиг и ширина $1s$ уровня атома каонного водорода

$$\Delta E_{1s}^{KEK} = -323 \pm 63 \pm 11 \text{ eV}, \quad \Gamma_{1s}^{KEK} = 407 \pm 208 \pm 100 \text{ eV}$$

- длина $K^- p$ рассеяния (DEAR):

$$a_{K^- p}^{\text{DEAR}} = -(0.468 \pm 0.090 \pm 0.015) + i (0.302 \pm 0.135 \pm 0.036) \text{ fm}$$

G. Beer et al., Phys. Rev. Lett. 94 (2005) 212302

Экспериментально измерены: сильный сдвиг и ширина $1s$ уровня атома каонного водорода

$$\Delta E_{1s}^{\text{DEAR}} = -193 \pm 37 \pm 6 \text{ eV}, \quad \Gamma_{1s}^{\text{DEAR}} = 249 \pm 111 \pm 30 \text{ eV}$$

Более свежие и точные данные, но не согласуются с данными по рассеянию

V. Borasoy, R. Nißler, and W. Weise, Phys. Rev. Lett. 94 (2005) 213401;
Eur. Phys. J. A 25 (2005) 79;

V. Borasoy, U.-G. Meißner, and R. Nißler, Phys. Rev. C 74 (2006) 055201.

Был построен феноменологический $\bar{K}N - \pi\Sigma$ потенциал с 1- и 2-польной структурой $\Lambda(1405)$ резонанса, воспроизводящий:

- Измеренные $1s$ K^-p сдвиг уровня и его ширину (КЕК или DEAR),
- Сечения $K^-p \rightarrow K^-p$ и $K^-p \rightarrow MB$ реакций,
- Пороговые отношения γ и $R_{\pi\Sigma} = \frac{R_c}{1 - R_n(1 - R_c)}$,

и пригодный для использования в малочастичных расчетах

J. Révai, N.V. Shevchenko, Phys. Rev. C 79 (2009) 035202

Нарушающие изоспин эффекты:

1. Каонный водород: явное включение **кулоновского взаимодействия**
2. Использование **физических масс:**

$$m_{K^-}, m_{\bar{K}^0}, m_p, m_n \quad \text{вместо} \quad m_{\bar{K}}, m_N$$

Уравнения для связанных $\bar{K}N - \pi\Sigma$ каналов

плюс кулоновское взаимодействие в $K^- p$ подсистеме: $V = V_c + V_s$

Сильная часть полного потенциала сепарабельна

$$V_{s,I}^{\alpha\beta} = |g_I^\alpha\rangle \lambda_I^{\alpha\beta} \langle g_I^\beta|; \quad \alpha, \beta = K \text{ or } \pi; \quad I = 0 \text{ or } 1$$

Форм-факторы:

- 1-полюсной $\Lambda(1405)$:

$$g_{I,1pole}^\alpha(k^\alpha) = \frac{1}{(k^\alpha)^2 + (\beta_1^\alpha)^2} \quad \text{для } \alpha = K \text{ (}\bar{K}N \text{ канал) или } \pi \text{ (}\pi\Sigma \text{ канал)}$$

- 2-полюсной $\Lambda(1405)$:

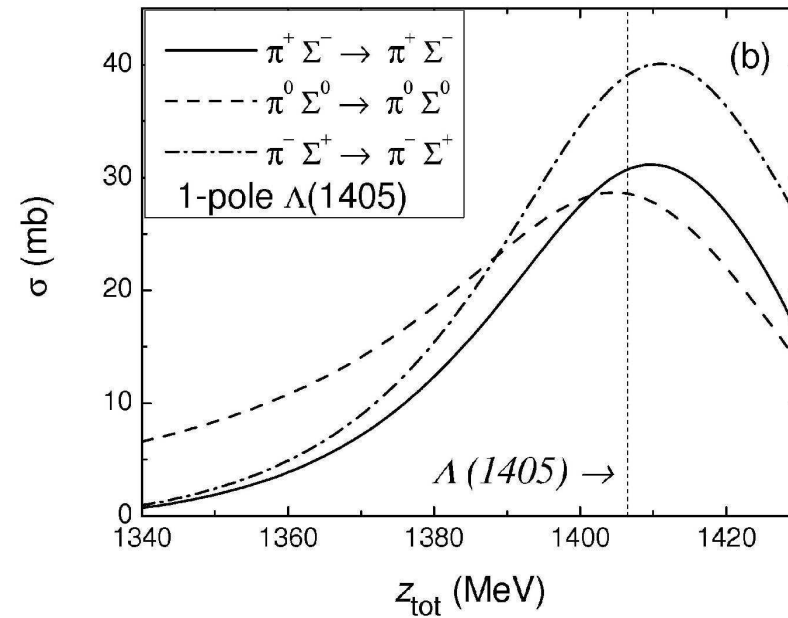
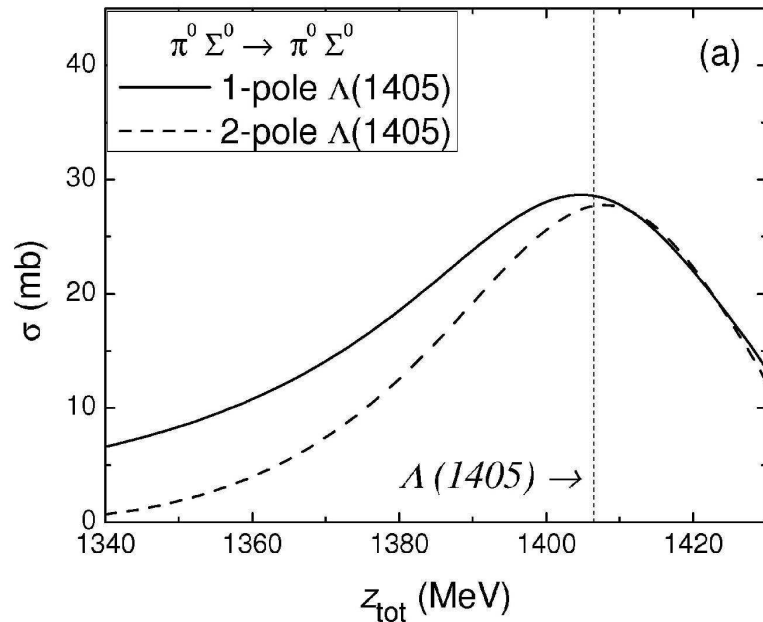
$$g_{I,1pole}^\alpha(k^\alpha) = \frac{1}{(k^\alpha)^2 + (\beta_1^\alpha)^2} \quad \text{для } \alpha = K \text{ (}\bar{K}N \text{ канал)}$$

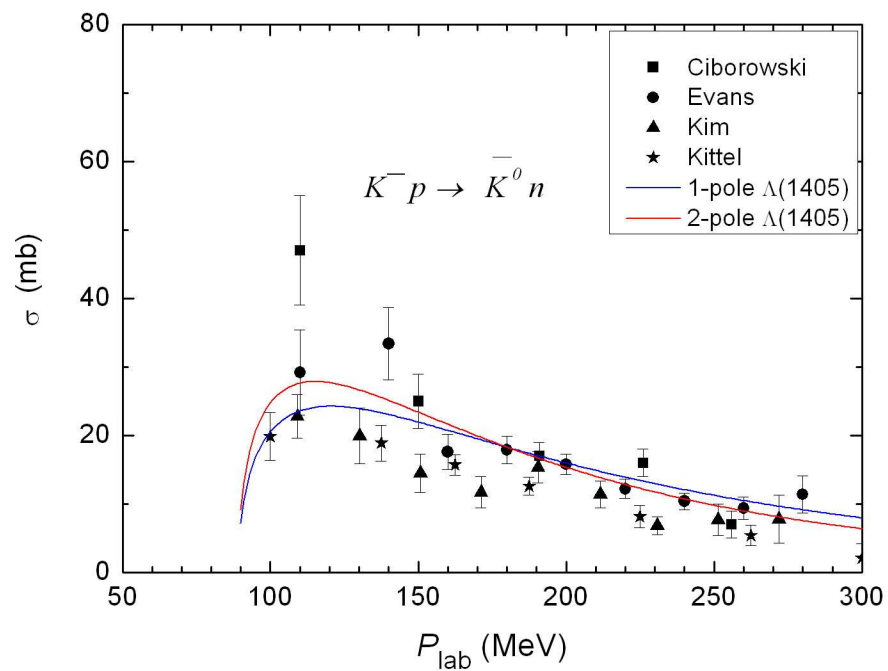
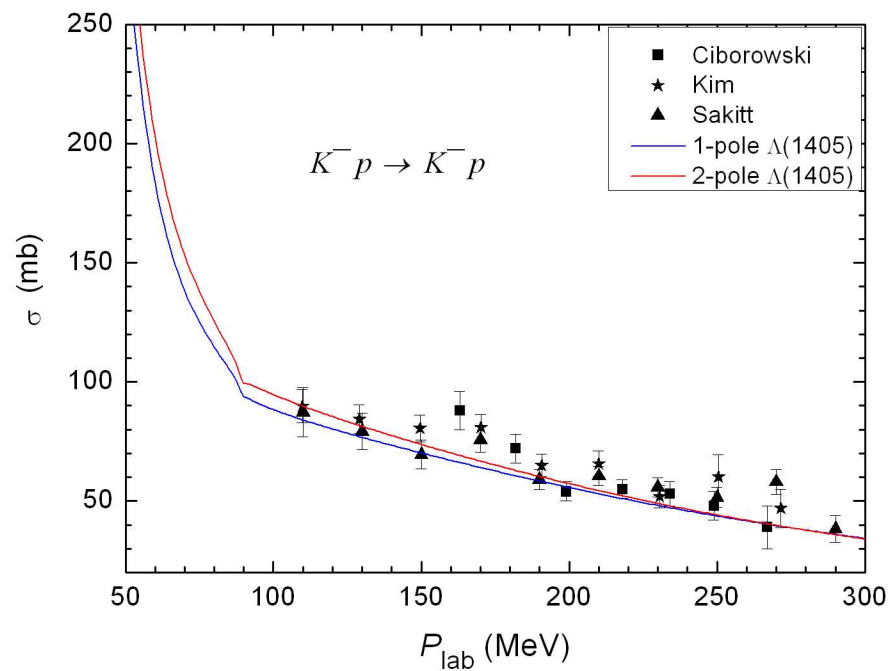
$$g_{I,2pole}^\alpha(k^\alpha) = \frac{1}{(k^\alpha)^2 + (\beta_1^\alpha)^2} + \frac{s (\beta_1^\alpha)^2}{[(k^\alpha)^2 + (\beta_1^\alpha)^2]^2} \quad \text{для } \alpha = \pi \text{ (}\pi\Sigma \text{ канал)}.$$

Одно- и двух-полюсной $\Lambda(1405)$ резонанс

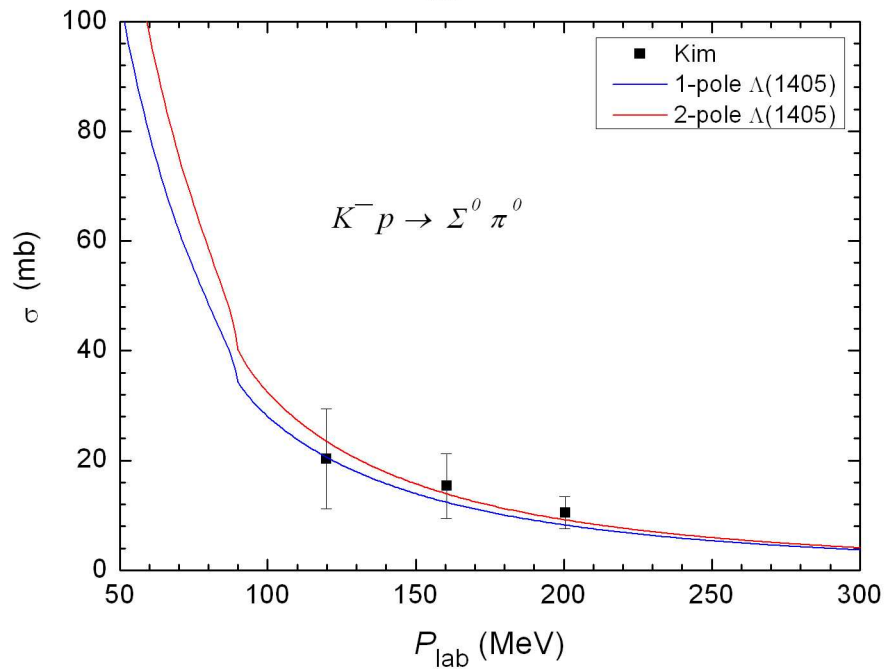
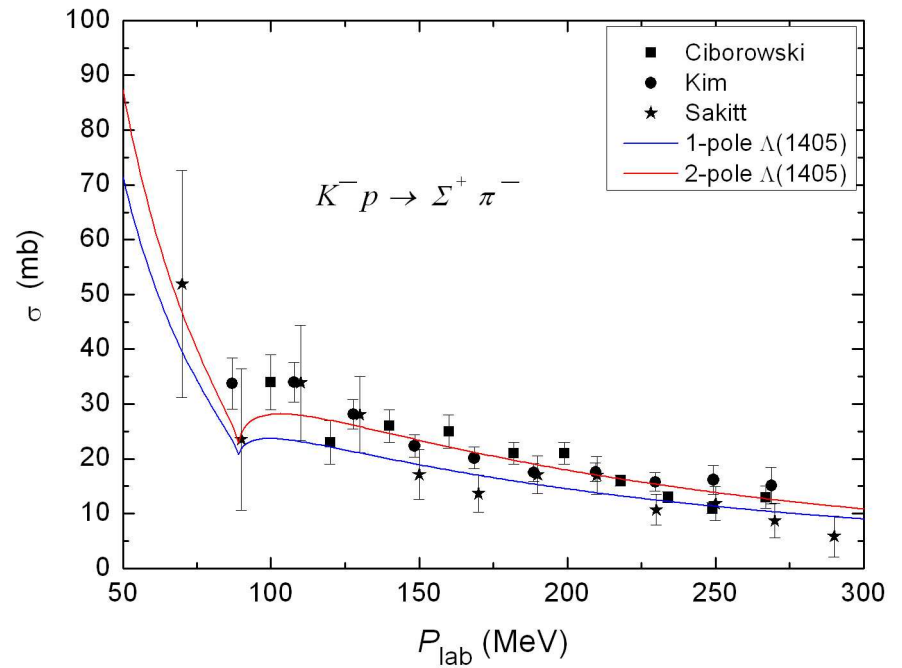
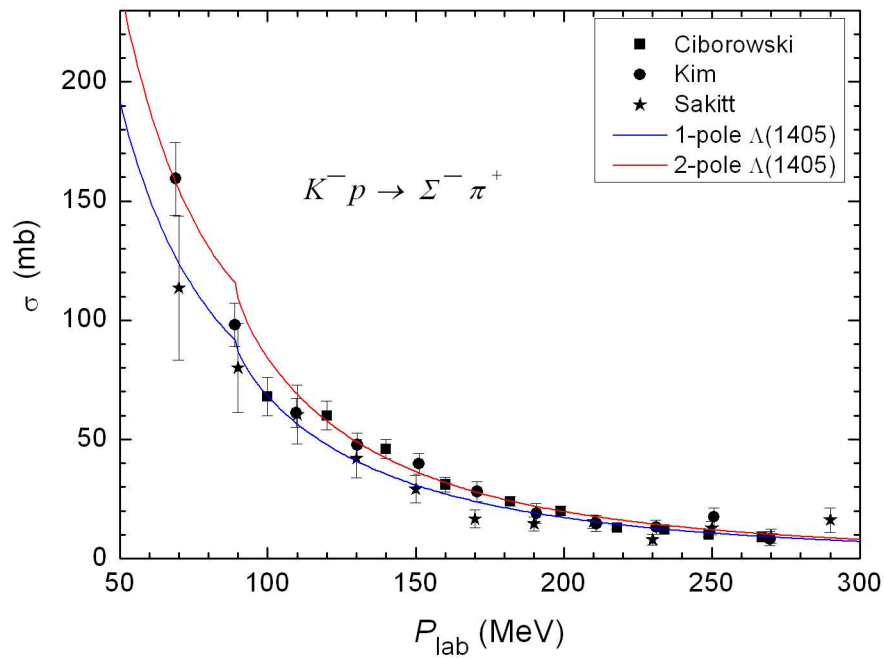
”1-полюсной”, полюс:
 $1409 - i 32 \text{ MeV}$

“2-полюсной”, полюса:
 $1412 - i 32 \text{ MeV}$,
 $1380 - i 105 \text{ MeV}$



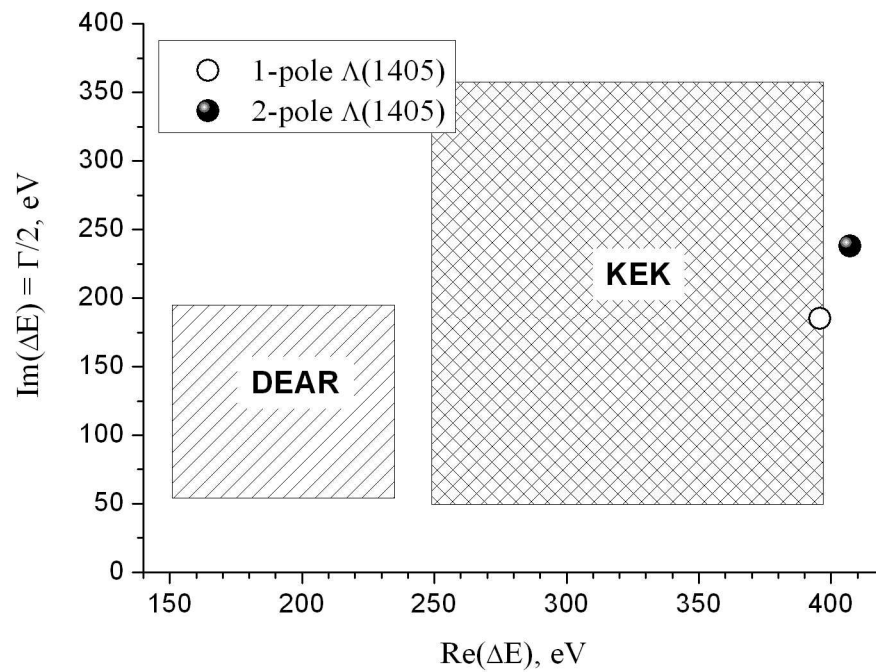


Сравнение с экспериментальными данными по рассеянию:
 синие линии: 1-полюсной, красные: 2-полюсной $\Lambda(1405)$ резонанс



Сравнение с
 экспериментальными
 данными по рассеянию,
 продолжение

Экспериментальные и теоретические
сдвиг и ширина $1s$ К-р уровня



– DEAR данные не
согласуются с данными
по рассеянию

Двучленный NN (pp) потенциал

P. Doleschall, private communication, 2009

$$V_{pp} = \sum_{i=1}^2 |g_i\rangle \lambda_i \langle g_i| \rightarrow$$

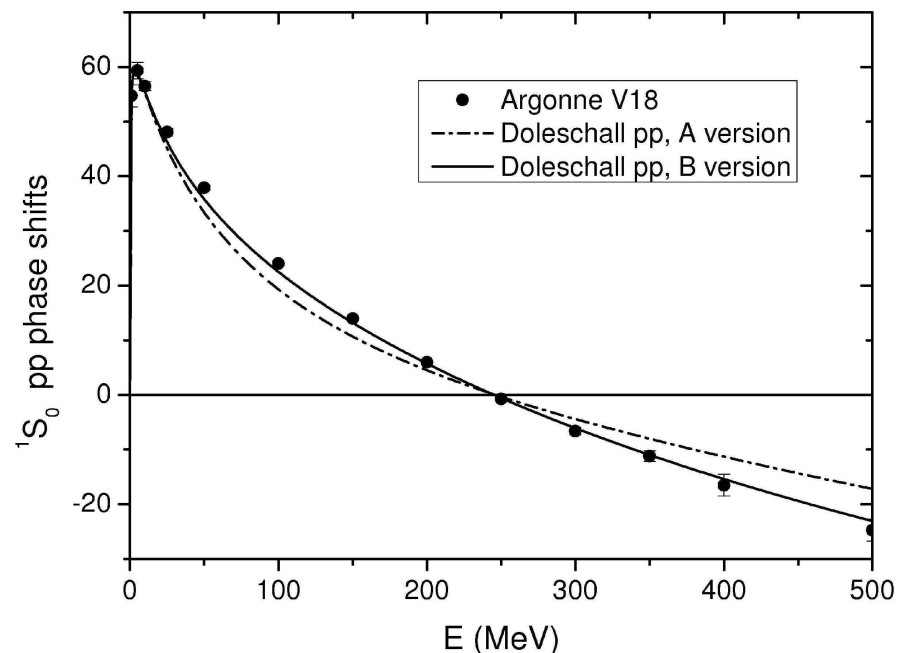
$$T_{pp} = \sum_{i,j=1}^2 |g_i\rangle \tau_{ij} \langle g_j|$$

Воспроизводит:

Argonne V18 NN фазовые сдвиги
(с изменением знака!),

$$a^A(pp) = 16.553 \text{ fm}, \quad r_{eff}^A(pp) = 2.845 \text{ fm}$$

$$a^B(pp) = 16.558 \text{ fm}, \quad r_{eff}^B(pp) = 2.880 \text{ fm}$$



Версия А: $g_i^A(k) = \sum_{m=1}^2 \frac{\gamma_{im}^A}{(\beta_{im}^A)^2 + k^2}, \quad i = 1, 2$

Версия В: $g_1^B(k) = \sum_{m=1}^3 \frac{\gamma_{1m}^B}{(\beta_{1m}^B)^2 + k^2}, \quad g_2^B(k) = \sum_{m=1}^2 \frac{\gamma_{2m}^B}{(\beta_{2m}^B)^2 + k^2}$

$\Sigma N(-\Lambda N)$ взаимодействие

J. Révai, N.V. Shevchenko, 2009

$T_I^{\Sigma N}(k, k'; z)$ соответствует

$$V_I^{\Sigma N}(k, k') = \lambda_I^{\Sigma N} g_I^{\Sigma N}(k) g_I^{\Sigma N}(k')$$

$$c g_I^{\Sigma N}(k) = \frac{1}{k^2 + (\beta_I^{\Sigma N})^2}$$

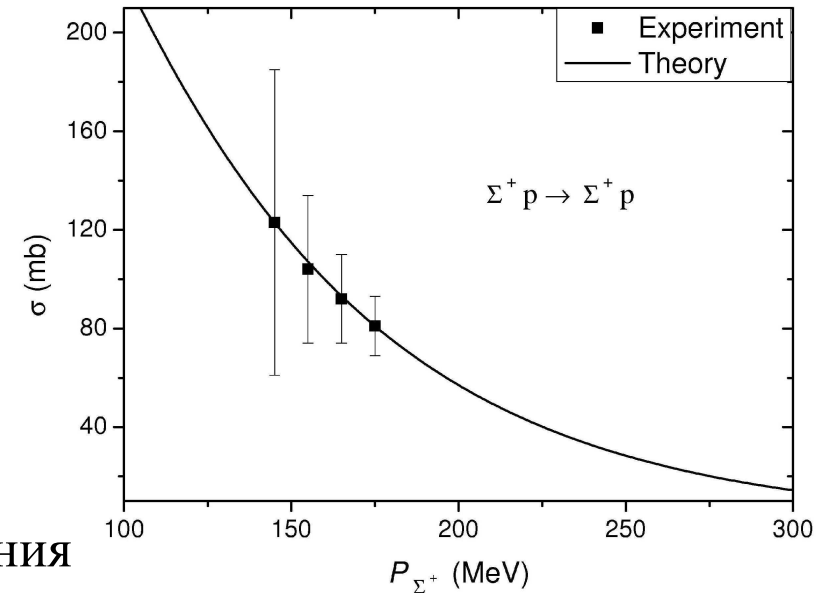
Воспроизводит экспериментальные сечения

$I=3/2$

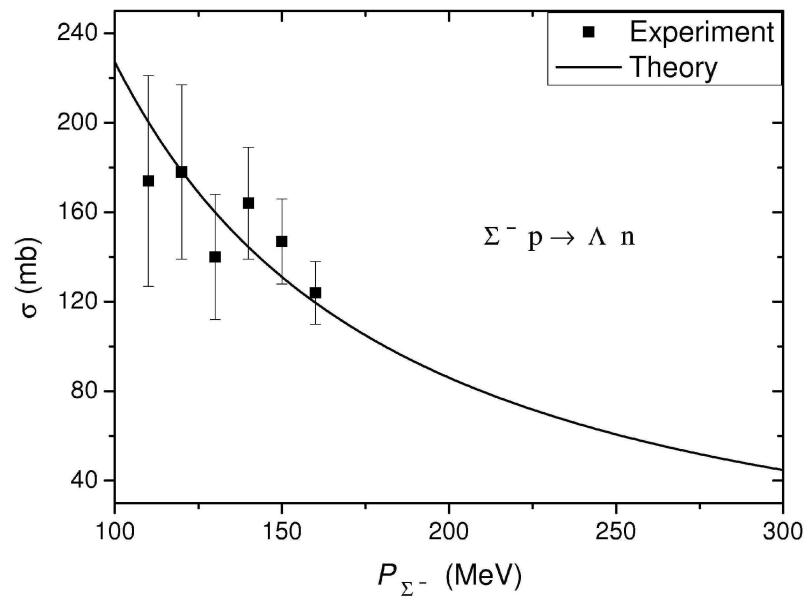
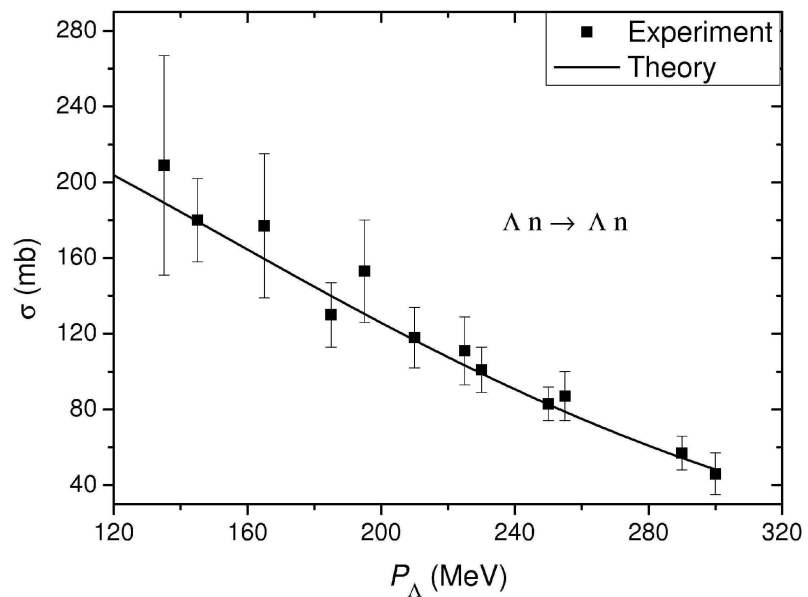
Реальные параметры, одноканальный случай

$I=1/2$

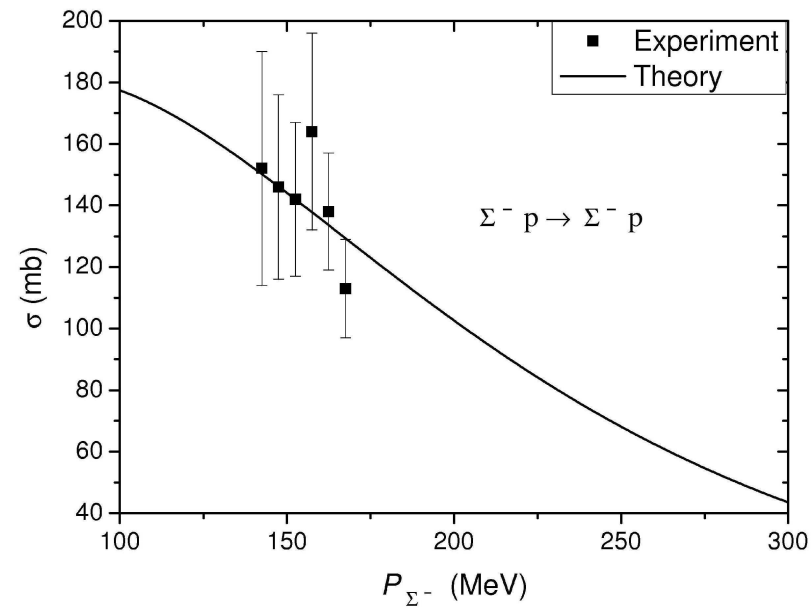
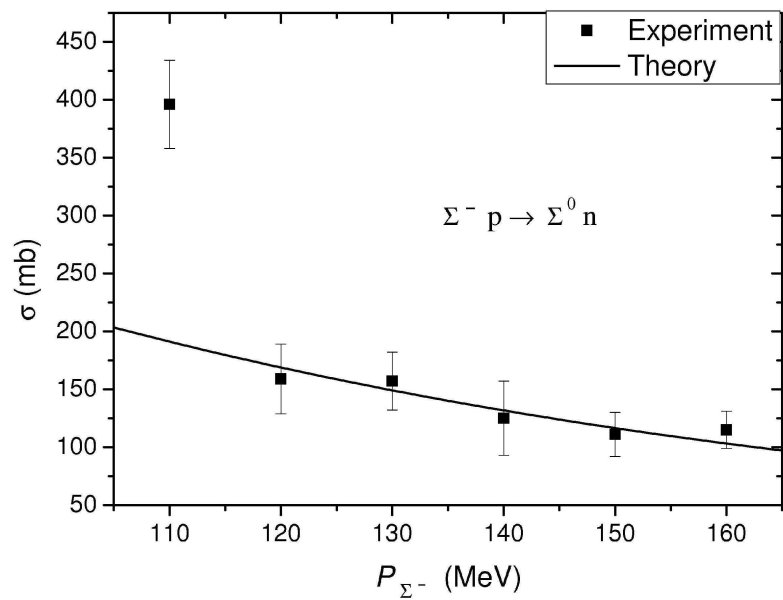
1. Двухканальный $\Sigma N - \Lambda N$ потенциал, реальные параметры
2. Одноканальный ΣN потенциал, комплексные параметры



Чистая $I=3/2$ часть



Чистая $I=1/2$ и смесь $I=1/2$ с $I=3/2$



Трехчастичный расчет со связанными каналами

N.V. Shevchenko, A. Gal, J. Mareš; Phys. Rev. Lett. 98 (2007) 082301

N.V. Shevchenko, A. Gal, J. Mareš, J. Révai; Phys. Rev. C 76 (2007) 044004

Уравнения Фаддеева в форме АГС:

$$U_{11} = T_2 G_0 U_{21} + T_3 G_0 U_{31}$$

$$U_{21} = G_0^{-1} + T_1 G_0 U_{11} + T_3 G_0 U_{31}$$

$$U_{31} = G_0^{-1} + T_1 G_0 U_{11} + T_2 G_0 U_{21}$$

определяют неизвестные U_{ij}

$U_{11} :$	$1 + (23) \rightarrow 1 + (23)$
$U_{21} :$	$1 + (23) \rightarrow 2 + (31)$
$U_{31} :$	$1 + (23) \rightarrow 3 + (12)$

$\bar{K}N$ взаимодействие сильно связано с $\pi\Sigma$ через $\Lambda(1405)$ резонанс

$\Rightarrow \pi\Sigma$ канал включен явно. Частичные каналы (α):

$$\alpha = 1 : |\bar{K}_1 N_2 N_3\rangle, \quad \alpha = 2 : |\pi_1 \Sigma_2 N_3\rangle, \quad \alpha = 3 : |\pi_1 N_2 \Sigma_3\rangle$$

i, j - обычные фаддеевские индексы
 α, β - каналные индексы

Двухчастичные T -матрицы, $T_i^{\alpha\beta}$:

$$T_1 = \begin{pmatrix} T_1^{NN} & 0 & 0 \\ 0 & T_1^{\Sigma N} & 0 \\ 0 & 0 & T_1^{\Sigma N} \end{pmatrix}, \quad T_2 = \begin{pmatrix} T_2^{KK} & 0 & T_2^{K\pi} \\ 0 & T_2^{\pi N} & 0 \\ T_2^{\pi K} & 0 & T_2^{\pi\pi} \end{pmatrix}, \quad T_3 = \begin{pmatrix} T_3^{KK} & T_3^{K\pi} & 0 \\ T_3^{\pi K} & T_3^{\pi\pi} & 0 \\ 0 & 0 & T_3^{\pi N} \end{pmatrix}$$

T^{NN} , $T^{\Sigma N}$ и $T^{\pi N}$ - обычные T -матрицы;

элементы 2-канальной $T^{\bar{K}N-\pi\Sigma}$: $T^{KK} : \bar{K}N \rightarrow \bar{K}N$, $T^{K\pi} : \pi\Sigma \rightarrow \bar{K}N$
 $T^{\pi K} : \bar{K}N \rightarrow \pi\Sigma$, $T^{\pi\pi} : \pi\Sigma \rightarrow \pi\Sigma$

Свободная функция Грина $G_0^{\alpha\beta} = \delta_{\alpha\beta} G_0^\alpha$, операторы перехода $U_{ij}^{\alpha\beta}$

Квантовые числа $\bar{K}NN - \pi\Sigma N$ системы:

спин $S = 0$, орбитальный момент $L = 0$, изоспин $I = 1/2$

Два тождественных нуклона- антисимметризация,

итого: система 10 интегральных уравнений

$E_{1 \text{ real}}^{\text{best}}$	$E_{1 \text{ complex}}^{\text{best}}$	$E_{2 \text{ coupled}}^{\text{best}}$	$E_{1 \text{ complex}}^{\text{AY}}$	AY's E
-43.8	-40.2 - i 38.7	-55.1 - i 50.9	-46.6 - i 29.6	-48.0 - i 30.5

Полученные $E_{\text{res}} - i \cdot \Gamma / 2$, E_{res} измеряется от $K^- pp$ порога:

реальный $\overline{K}NN$, комплексный $\overline{K}NN$, полный $\overline{K}NN - \pi\Sigma N$ ("лучший набор"), комплексный $\overline{K}NN$ ("AY набор") и результат AY

Фаддеевский 3-частичный расчет со связанными $\overline{K}NN - \pi\Sigma N$ каналами, $I = 1/2, J^\pi = 0^-$:

квазичастичное состояние в $\overline{K}NN$ (резонанс в $\pi\Sigma N$) имеет

$$E_{\text{res}} \sim 55 - 70 \text{ MeV}, \Gamma \sim 90 - 110 \text{ MeV}$$

Новые результаты (предварительные):

	1-полюсной $\Lambda(1405)$ резонанс	2-полюсной $\Lambda(1405)$ резонанс
NN A-версия	$- 29.63 - i 47.31$	$- 59.50 - i 41.13$
NN B-версия	$- 30.90 - i 47.38$	$- 59.66 - i 41.31$